

Sr_xVO_yFeAs

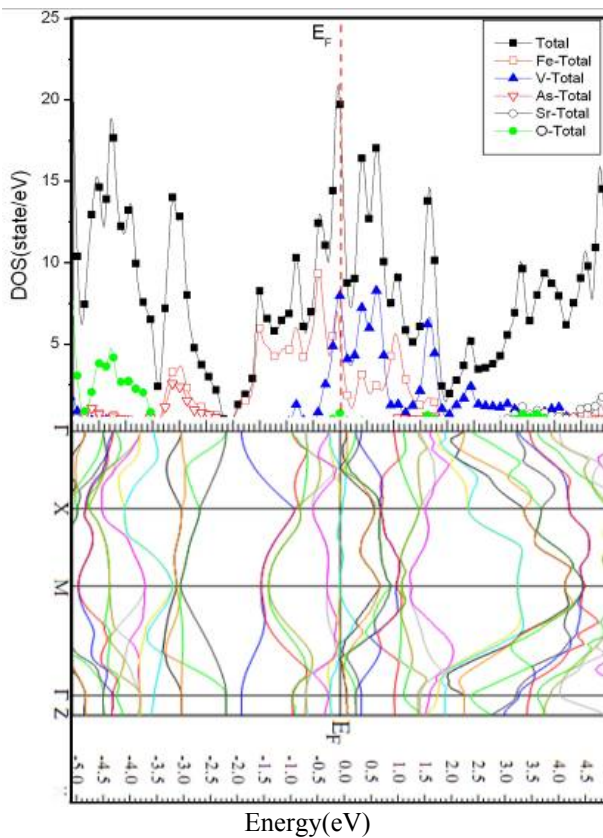
maria.jami81@gmail.com :

(FP-LAPW)	Sr _x VO _y FeAs (GGA)	C _V /T	N(E _f) DFT
-----------	---	-------------------	---------------------------

ابررسانایی و مغناطیس وجود دارد و مجموعه‌ای از نتایج مشاهده شده در این مورد باعث نظریات فراوانی درباره مشخصات اصلی این ابررساناهای می‌شود [۴-۷]. در مورد ابررسانای نوع آهن Sr_xVO_yFeAs خواص مغناطیسی چندانی گزارش نشده است [۸-۹].

Sr_xVO_yFeAs یک مشخصه ممتاز در رسیدگی ابررسانای پایه آهن به علت یک پوسته باز و دولایه فلزی یون V بین لایه‌های FeAs، با ثابت شبکه $a = 15.7 \text{ \AA}$ است. تفاوت ابررسانای Sr_xVO_yFeAs در دمای بالا ($T_c = 37 \text{ K}$) نسبت به دیگر کلاس‌های ابررسانا با پایه Fe وجود ابررسانایی این ماده بدون نیاز به آلائیدن یا فشار می‌باشد [۹]. از آنجا که این ابررسانا جدیداً کشف شده است بررسی تجربی و تئوری آن اخیراً مورد توجه قرار گرفته است. در این مقاله نتایجی درباره خواص الکترونیکی این ترکیب ارائه شده است.

پس از کشف ابررسانایی در دمای 26 K در اکسیژن-آرسناید LaFeAsO_{1-x}F_x، جستجوی ابررساناهای جدید در این کلاس بسیار مورد توجه قرار گرفت. ابررساناهایی با ساختارهای مختلف، T_c را تا دمای $[3-55 \text{ K}]$ در آرسناید-اکسیژن-آهن آلاییده LnFeAsO (آلائیده با آهن، که فاز ۱۱۱ نامیده می‌شود) بالا برده‌اند. اخیراً زو در سال ۲۰۰۹ ابررسانای ترکیب Sr_xVO_yFeAs با $T_c = 37 \text{ K}$ را کشف کرد و به طور استثنایی از اندازه‌گیری ضریب هال استنباط کرد که حامل بار شبه الکترون‌ها هستند و پیشنهاد کرد که دمای قوى وابسته به این ضریب ممکن است به خاطر مشخصه چند باندی آن باشد [۶]. در Sr_xVO_yFeAs، هیچ نشانه‌ای از نظم مغناطیسی حتی در دماهای قوى وابسته به قابلیت جذب، وجود ندارد. در بیشتر ابررسانای نوع آهن رقابت واضحی بین

شکل ۱. چگالی حالتها و ساختار نواری ترکیب Sr_xVO_xFeAs .

ترکیب را نشان می‌دهد. نقاط و امتدادهای با تقارن بالا در شکل ۳ دیده می‌شوند. بیشترین سهم در تراز فرمی و نزدیک آن مربوط به اریتالهای ۳d اتم‌های Fe و V است. انرژی فرمی در شکل ۱ به صورت خط‌چین نشان داده شده است. تعداد حالتهای در واحد انرژی در انرژی فرمی برای محسوبه جمله همبسته-تبادلی، مقدار $11/2$ State/eV را برای $N(E_F)$ به دست آورده‌اند. همچنین درصد مشارکت اتم V را در چگالی حالت‌های کل حدود 60 درصد تخمین زده‌اند [۸]. در هر صورت نکته قابل توجه این است که اتم‌های V، مؤثرترین سهم را در چگالی حالت‌ها در تراز فرمی و در ابررسانایی این ترکیب دارند.

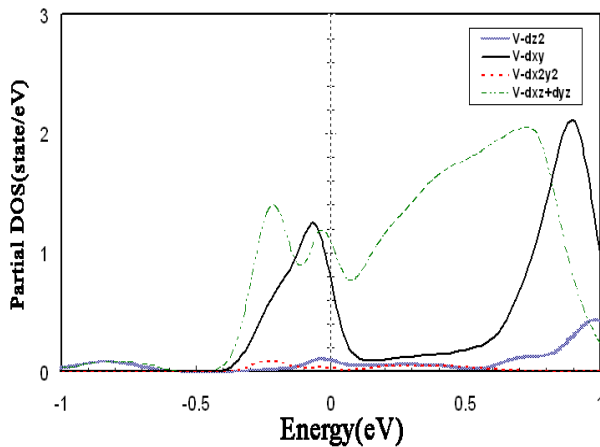
از مقایسه ساختار نواری با چگالی حالت‌ها نیز می‌توان

جدول ۱. جایگاه اتمی ابررسانای Sr_xVO_xFeAs

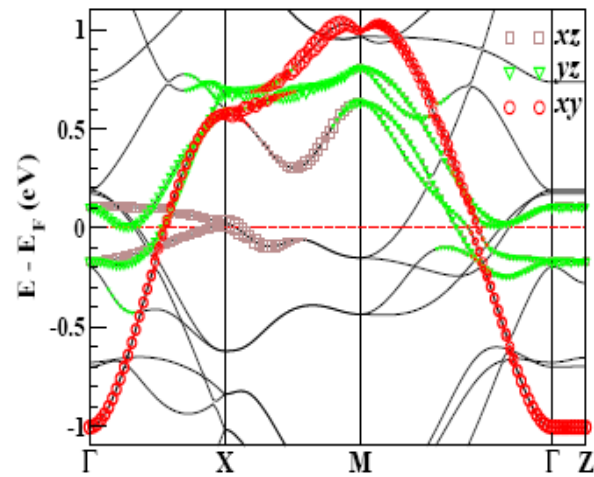
اتم	جایگاه بلوری	جایگاه اتمی [۹-۸]	$R_{MT}(\text{a.u})$
V	۲c	(۰/۲۵۰۰, ۰/۲۵۰۰, ۰/۳۰۸۲)	۱/۹۳
Fe	۲a	(۰/۲۵۰۰, ۰/۷۵۰۰, ۰/۰۰۰۰)	۲/۴۲
Sr	۲c	(۰/۷۵۰۰, ۰/۷۵۰۰, ۰/۱۹۰۳)	۲/۲۶
As	۲c	(۰/۷۵۰۰, ۰/۷۵۰۰, ۰/۴۱۴۵)	۲/۲۶
O	۴f	(۰/۲۵۰۰, ۰/۷۵۰۰, ۰/۲۹۲۲)	۱/۷۱
O	۲c	(۰/۲۵۰۰, ۰/۲۵۰۰, ۰/۴۳۱۸)	۱/۷۱

محاسبات این مقاله در چارچوب نظریه تابعی چگالی (DFT)، تحت تقریب گرادیان تعیین یافته (GGA)، با روش پتانسیل کامل امواج تخت تقویت شده خطی (FP-LAPW) صورت گرفته است [۱۱-۱۰]. به علت کشف اخیر این ابررسانا تا کون بررسی تجربی خواص الکترونیکی آن به صورت کامل انجام نشده است و در محاسبات ثوری نیز فقط با تقریب چگالی موضعی (LDA) محاسبه شده است [۸]. با توجه به این نکات و تقریب انتخاب شده این مقاله مناسب‌ترین تقریب برای مقایسه با نتایج دیگران می‌باشد. انرژی جدایی بین الکترون‌های ظرفیت و مغزی ۶-۶ Ryd در نظر گرفته شده است. تعداد نقاط k در اولین منطقه بریلوئن 1000 نقطه، Rk_{\max} برابر 5 و معیار همگرایی در اساس نیرو در نظر گرفته شده است. Sr_xVO_xFeAs در گروه فضایی P4/nmm متبکر می‌شود و دارای ساختار تتراگونال با ثوابت شبکه $a=b=3/9296 \text{\AA}$ و $c=15/6732 \text{\AA}$ است [۹-۸]. شعاع کره‌های مافین-تین و جایگاه‌های اتمی این ترکیب در جدول ۱ خلاصه شده است.

یکی از پارامترهای مهم در بررسی خواص ابررسانایی، چگالی حالت‌ها در نزدیکی و در سطح فرمی است. شکل ۱ چگالی حالت‌های کل ترکیب و سهم چگالی‌های کل هر یک از اتم‌های



شکل ۳. چگالی حالت‌های جزئی اوربیتال ۳d اتم V.



شکل ۴. نوارهای انرژی اوربیتال ۳d اتم V.

بنابراین، این مقدار تخمینی به همراه مقادیر ظرفیت گرمایی فونونی و شبکه می‌تواند در بررسی نسبت تغییرات m^*/m به صورت تجربی مفید باشد.

با استفاده از چگالی ابر الکترونی در صفحات بلوری می‌توانیم نوع پیوند بین اتم‌ها در ترکیب را بررسی نمود. شکل‌های ۴ و ۵ و ۶ چگالی ابر الکترونی اتم‌ها را به ترتیب در صفحات (۰۰۳)، (۰۰۴۰) و (۱۱۰) نشان می‌دهند. از کشیدگی ابر الکترونی بین اتم‌های O و V در صفحه (۰۰۴۰) می‌توان استنباط کرد که نوع پیوند بین O-V به صورت کوالانسی است.

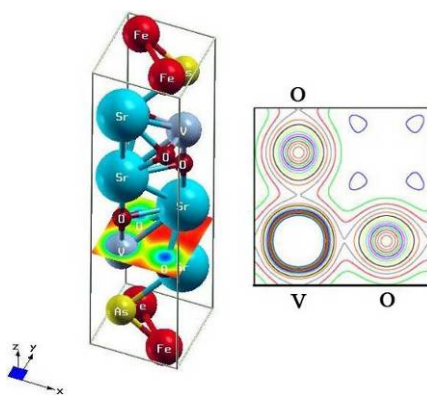
چگالی ابر الکترونی در صفحه (۰۰۳) نیز مؤکد این موضوع می‌باشد. اتم Sr در جهت محور C به صورت جزئی ابر الکترونی O را به سوی خود جذب کرده است. همچنین می‌توان مشاهده کرد که در پیوند Sr-Sr اتم‌ها ساختار ابر الکترونی یونی خود را حفظ کرده‌اند بنابراین نوع پیوند بین Sr-Sr یونی قوی و Sr-O یونی است. از سوی دیگر اتم‌های Fe توانسته‌اند به طور مشخص ابر الکترونی اتم As را به سوی خود جذب کنند که نشان‌دهنده مشخصه کوالانسی پیوند در Fe-As است.

چگالی ابر الکترونی در صفحه (۱۱۰) بر پیوند کوالانسی قوی V-O و پیوند یونی قوی Sr-O و Sr-Sr تاکید می‌کند. همچنین این صفحه مشخص می‌کند که نوع پیوند در As-Sr یونی قوی است.

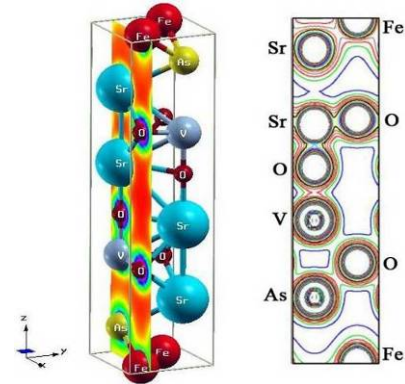
مشاهده کرد که تعداد نوارها در فاصله بین انرژی ۱eV-تا ۱eV نسبتاً بالا است. نکته قابل توجه در مورد ساختار نواری وجود نوارهای تخت در راستای Γ -Z است که می‌تواند دلیلی برای ابرسانانی در دمای بالا برای این ترکیب باشد. اوربیتال‌های d_{xz} و d_{yz} اتم V در نزدیکی E_F متمرکز شده‌اند که در تطابق با نتایج d_{xy} این اتم در حدود E_F متمرکز شده‌اند که در تطابق با نتایج دیگران [۸] است. نوارهای انرژی مربوط به این اوربیتال‌ها با دایره‌هایی بر روی منحنی‌های شکل ۲ تمیز داده شده‌اند. همچنین در محاسبات چگالی حالت‌های جزئی مشاهده شد که اوربیتال‌های d_{xy} به صورت کامل از یکدیگر جدا شده‌اند. در مطالعه نوارهای انرژی اتم Fe توسط لی و پیکت سهم اوربیتال d_{xz-yz} در اطراف E_F با عرض ۱eV مشاهده می‌شود [۸]. همچنین یک گاف تونل زنی در حدود ۰/۴eV از ذره X به نقطه ما بین دو ذره X و M نیز با توجه به شکل مشاهده می‌شود. از آنجایی که محاسبات برای حالت پایه انجام می‌گیرد، می‌توانیم بر اساس رابطه ظرفیت گرمایی در حجم ثابت و داشتن تعداد حالت‌ها در انرژی فرمی مقدار ۷ را تخمین زد:

$$C_V = \frac{\pi^2}{3} N(E_F) K_B T = \gamma T \quad (1)$$

مقدار محاسبه شده برای ۷ در حدود $50/56$ (mJ/mol.K) است. با این مقدار می‌توان سهم ظرفیت گرمایی را در دمای بحرانی T_c محاسبه کرد. این مقدار برای $T_c=37K$ در این ترکیب حدود 188° (mJ/mol.K) تخمین زده شده است.



شکل ۵. چگالی ابر الکترونی در صفحه (۰۰۳).

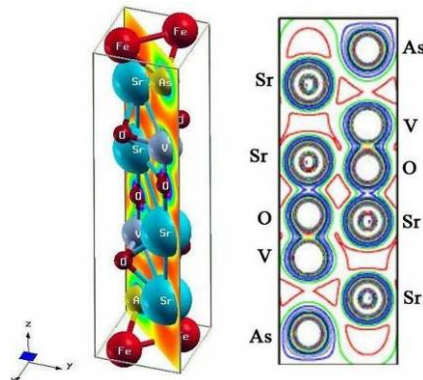


شکل ۴. چگالی ابر الکترونی در صفحه (۰۰۴۰).

جدول ۲. طول پیوند در $\text{Sr}_2\text{VO}_3\text{FeAs}$.

پیوند	جهت	طول پیوند در کار حاضر	طول پیوند محاسبه شده [۹]
V-O	c	۱/۹۳۸۷ Å	۱/۹۴ Å
V-O	ab	۱/۹۸۰۵ Å	۱/۹۸ Å
Fe-Fe	ab	۲/۷۷۸۶ Å	۲/۷۸ Å

می‌تواند دلیلی بر دمای ابررسانایی بالای این ترکیب باشد. به دست آوردن مقدار چگالی حالت‌ها در انرژی فرمی مقدار γ در حالت پایه محاسبه شد. بررسی چگالی ابر الکترونی در صفحات (۰۰۴۰)، (۰۰۳)، (۱۱۰) و (۱۱۱) نشان می‌دهد که نوع پیوند‌ها بین V-O و Fe-As به صورت کوالانسی است در صورتی که نوع پیوند بین Sr-Sr و Sr-As و Sr-O یونی می‌باشد. مقدار طول پیوند‌های محاسبه شده با نتایج دیگران توافق بسیار خوبی دارد. ولی به علت کشف این ابررسانا در سال ۲۰۰۹ امکان مقایسه تمامی نتایج با کارهای دیگران در حال حاضر میسر نمی‌باشد.



شکل ۶. ابر الکترونی در صفحه (۱۱۰).

در جدول ۲ طول پیوند در برخی پیوند‌ها همراه با مقایسه تئوری دیگران خلاصه شده است. طول پیوند‌های محاسبه شده در کار حاضر در توافق بسیار خوبی با نتایج دیگران است.

بر اساس چگالی حالت‌های کل مشخص شد که بیشترین سهم در چگالی حالت‌ها در انرژی فرمی مربوط به اتم‌های وانادیوم و آهن است و سهم اتم‌های وانادیوم بیشتر از آهن می‌باشد. بررسی نوارهای انرژی این ترکیب نشان می‌دهد که نوارهای انرژی در راستای $\Gamma-Z-\Gamma$ به صورت تقریباً تخت است و این

- Lograsso, A I Goldman, and P C Canfield, *Phys. Rev. B* **78** (2008) 024516.
 3. M S Torikachvili, S L Budko, N Ni and P C Canfield, *Phys. Rev. B* **78** (2008) 104527.
 4. A S Sefat, R Jin, M A McGuire, B C Sales, D J Singh

1. T Park, E Park, H Lee, T Klimczuk, E D Bauer, F Ronning and J D Thompson, *Condens. Matter* **20** (2008) 322204.
2. J Q Yan, A Kreyssig, S Nandi, N Ni, S L Bud'ko, A Kracher, R J McQueeney, R W McCallum, T A

8. K W Lee, W E Pickett, *arXiv:0908.2698v2* (2009).
9. X Zhu, F Han, G Mu, P Cheng, B Shen, B Zeng and H H Wen, *arXiv:0904.1732v5*(2009).
10. P Blaha, D Singh, P I Sorrentin and K Schwarz, *Phys. Rev B* **46** (1992) 1321-1325.
11. P Blaha, D Singh and K Schwarz, Wien2k.Vienna University of Technology Austria (2002). www.wien2k.at.
- and D Mandrus, *Phys. Rev. Lett.* **101**, (2008) 117004.
5. D R Parker, M J Pitcher, P J Baker, I Franke, T Lancaster, S T Blundell and S J Clark, *Chem. Comm.* **2189** (2009).
6. G F Chen, W Z Hu, J L Luo and N L Wang, *Phys. Rev. Lett.* **102** (2009) 227004.
7. H Kotegawa, S Masaki, Y Awai, H Tou, Y Mizuguchi and Y Takano, *J. Phys. Soc. Jpn.* **77** (2008) 113703.